



тической оценки качества готовой продукции. При наливе вина в бокал наблюдается бурное выделение пузырьков  $\text{CO}_2$  в виде «цепочек». Интенсивно всплывая и увеличиваясь, они над поверхностью жидкости образуют пену [1,2].

С точки зрения современной технологии качество игристых вин зависит от дисперсности (размеров) пузырьков, частоты новообразования и скорости их движения. Считается, что чем медленнее выделяется из вина диоксид углерода и меньше размер пузырьков, тем плотнее и устойчивее пена в виде колечка (венчика) вдоль стенок или в виде движущихся «островков» на поверхности вина [1,3].

Следует отметить, что «игры» является не только визуальным показателем качества вина, но и благоприятно влияет на органолептический профиль вина. Бурное выделение углекислоты, которое характеризуется большим размером пузырьков, оказывает агрессивное воздействие на полость рта в процессе дегустации. Такой процесс способствует стремительной дегазации вина и быстрому снижению игристых свойств. Напротив, высококачественные игристые вина создают приятные вкусовые ощущения в виде легкого покалывания в полости рта. При этом в бокале наблюдается длительное выделение пузырьков в виде «цепочек» и устойчивое пенообразование [4-6].

#### Постановка проблеми та літературний обзор

Результаты органолептического анализа, реализованного в рамках производственных дегустаций и работы конкурсных комиссий, показывают, что большая часть отечественных игристых вин характеризуется низкими значениями игристых свойств.

Согласно ДСТУ 4807:2007 «Вина ігристі. Технічні умови» не предусмотрено контроль качества игристых свойств с помощью физико-химических методов анализа. Отсутствуют конкретные значения и диапазоны этих характеристики. Поэтому большое значение в решении проблемы занимают вопросы разработки и усовершенствования инструментальных методов и их использования в реальной оценке и прогнозировании игристых свойств вина.

Следовательно, для успешной реализации режимов и параметров технологических процессов шампанских виноматериалов и игристых вин актуальной задачей является разработка новых и усовершенствование действующих методов оценки специфических показателей игристых вин.

Согласно отечественным и зарубежным литературным источникам наиболее часто применяют методы, основанные на введении в виноматериал или дегазированное игристое вино газовых пузырьков, выделяющихся на одном ядре кавитации [7,8]. Для характеристики процесса газообмена в системе вино –  $\text{CO}_2$  после нарушения герметичности используют следующие величины: отрывные диаметры нескольких пузырьков, время и скорость их всплыивания, количество пропущенных пузырьков, объем га-

зов, растворенных в жидкости и выделившихся из жидкости с пузырьками, всплывающими на поверхность вина в бокале.

Для оценки контроля игристых свойств G. Liger-Belair, A. Maujean и др [5,6,9] предложили математическую модель, описывающую процесс кавитационной десорбции углекислого газа в шампанских и игристых винах. В их работах изложена методика наблюдения за пузырьками в бокале с помощью скоростной фотосъемки (до 2000 кадров в секунду) и микроскопа в условиях естественно протекающего процесса газовыделения из игристого вина. Фотографирование осуществляется при строго определенной экспозиции со стробоскопическим источником света. В качестве критериев оценки «игры» выступают: размер пузырьков, частота отделения пузырьков от центра их образования, скорость всплыивания пузырьков, формирование и слияние пузырьков.

Также большой интерес представляет «Система технического зрения с использованием ЭВМ» [7]. Данная установка, укомплектованная видеокамерой и зеркалом под углом  $45^\circ$ , позволяет в реальных условиях получить систему параметров, характеризующих «игру»: быстроту появления пузырьков, длительность их новообразования, а также их размер и количество в жидкости.

#### Описование установки для исследования размеров и динамики выделения пузырьков в игристом вине

Целью настоящей работы явилось усовершенствование существующих инструментальных методов количественной оценки игристых свойств в реальных условиях (в бокале).

Объектами исследований для тестирования установки и алгоритмов обработки служили образцы игристых вин: игристое вино белое брют (образец №1), игристое вино белое полусухое (образец №2), игристое вино белое полусладкое (образец №3), игристое вино розовое полусладкое (образец №4).

Созданная установка позволяет исследовать игристые свойства вина, с помощью регистрации и последующего анализа пузырьков углекислоты, выделяющейся из образца после вскрытия бутылки. Для решения этой задачи с помощью цифровой фотокамеры проводится съемка процесса выделения  $\text{CO}_2$  в оптической ячейке, а полученный фотоматериал обрабатывается методами «компьютерного зрения» (computer vision), для получения первичной информации о пузырях (время появления, размер, глубина погружения). Дальнейшая обработка полученной информации позволила выделить интегральные характеристики процесса «игры» вина, которые можно использовать для сравнения игристых свойств различных образцов вин.

Установка для исследования образования пузырьков состоит из ячейки с исследуемым вином, осветительной системы и фотокамеры (Canon PowerShot SX150 IS) для регистрации серии изображений ячей-

ки в течении заданного времени (рис. 1). В качестве ячейки для вина использовалась стандартная оптическая ячейка с длиной оптического пути 5,095 мм, объем заправки вином ~2,4 мл. К боковой стенке снаружи приклесена шкала со штрихами каждые  $0,169 \pm 0,002$  мм (измерено на УИМ-21), с помощью которой определяется масштабный коэффициент, позволяющий переход от системы координат изображения к истинным размерам.

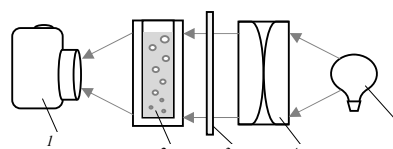


Рис. 1. Схема експериментальної установки для дослідження образування пузирьків в ігристих винах.

1 – фотокамера; 2 – ячейка з дослідженням образцем; 3 – молочне скло; 4 – конденсор; 5 – лампа

Методика исследования игристых свойств включает следующие этапы:

- Подготовительный – промывка и высушивание ячейки; помещение где будет проводится исследование кондиционируется до температуры 20 °C; образцы для исследования несколько часов выдерживаются при комнатной температуре (20 °C);

- заправка и запуск установки – включается и выполняется настройка фотокамеры; откупоривается бутылка и выполняется два наливания вина в ячейку для промывки (это позволяет существенно снизить количество пузырьков неподвижно растущих на стенах); затем ячейка заполняется образцом вина (недоливая 3-4 мм до кромки); заполненная ячейка помещается в установку и запускается съемка процесса дегазации вина фотокамерой;

- регистрация кадров – в течение 30-40 мин (в зависимости от длительности «игры» исследуемого образца вина) регистрируются кадры по следующей схеме: блок из 10 кадров с интервалом 1 с, затем пауза 25 с (каждая следующая пауза увеличивается на 15 %), повторение блока из 10 кадров и т. д.;

- обработка и распознавание изображений – на этом этапе в каждом кадре распознаются пузырьки и определяются размеры и положение каждого пузырька, в результате чего можно получить следующую информацию: диаметр и положение пузырька; положение мениска жидкости относительно dna ячейки, время, прошедшее с момента регистрации первого кадра для каждого пузырька;

- обработка полученной информации – из массива данных полученных на предыдущем этапе определяются параметры, характеризующие длительность «игры», концентрацию и размеры пузырьков.

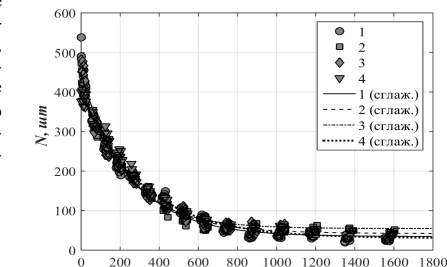


Рис. 2. Залежність кількості пузирьків при різних способах наливання вина в ячейку: 1 – образец №1, бістре заповнення ячейки в течіїнні приблизно 4-6 с;

2 – образец №1, медленне заповнення ячейки в течіїнні приблизно 8-10 с;

3 – образец №2, медленне заповнення ячейки в течіїнні приблизно 8-10 с;

4 – образец №2, бістре заповнення ячейки в течіїнні приблизно 4-6 с

Концентрация пузырьков  $n$  ( $\text{cm}^{-3}$ ) в образце определяется по следующей зависимости:

$$n = \frac{N}{V(h_m)} \quad (1)$$

где  $N$  – кол-во пузырьков, зарегистрированных в кадре;  $h_m$  – уровень жидкости в ячейке, определяется в процессе распознавания, см;  $V(h_m)$  – объем жидкости в ячейке (2),  $\text{cm}^3$ , при уровне жидкости в ней  $h_m$ , с учетом поправки, определенной из геометрических построений. Эта поправка учитывает тот факт, что в процессе распознавания пузырьков  $\text{CO}_2$  из-за эффекта перспективы не участвуют области вблизи боковых стенок и донышка ячейки (~9 % от объема заполнения).

$$V(h_m) = 0.8779 \pm 0.0002 \cdot h_m - 0.1068 \pm 0.0005 \quad (2)$$

Отчет времени ведется от момента съемки первого кадра, по EXIF данным (доверительный интервал с низким индексом) каждого кадра с разрешением в 1 с. Предварительные испытания показали, что неучтенный промежуток времени между откупориванием бутылки и съемкой первого кадра (20-45 с) незначительно влияет только на начальном этапе «игры» (см. рис. 2). Спустя 40 – 60 с существенных различий ни в концентрации, ни в средних размерах пузырьков не наблюдается.

#### Обработка и распознавание изображений

Для получения информации об игристых свойствах исследуемого образца вина после фотографирования процесса газовыделения проводится обработка полученных изображений. В результате этой обработки на изображениях идентифицируются: ячейка с

образцом, рівень жидкості в ячейці, масштабна шкала і пузирьки. При цьому з масиву распознаніх пузирьків отсіваються пузирьки, растущі на стенках ячейки. Для цього з допомогою розроблено-

го програмного обслуговування проводиться пакетна обробка всіх зображення. Последовательність распознавання і обробки одного кадра представлена в табл. 1.

Таблиця 1 – Алгоритм распознавання і обробки кадра

1. Загрузка исходного зображення (рис. 3а) і визначення масштаба зображення (за зображенням прикрепленої до ячейки шкали).
2. Підготовка зображення до распознавання (рис. 3б) [10]:
  - a) кадрирування;
  - b) конвертація кольорового зображення в оттенки серого;
  - c) медіанна фільтрація (для видалення високочастотних шумів);
  - d) інвертирання яркості (негатив).
3. Видалення та вищитання фона (рис. 3г) [10].
4. Распознавання окуружності з допомогою алгоритму Хаффа [11] (рис. 3д).
5. Распознавання мениска жидкості (рис. 3е). Т. є мениск, що представляє собою світлу полоску отраженного світла, що виконується пошуки лінії, відповідаючої максимальному градієнту яркості вздовж вертикальної осі. В качестве рівняння жидкості береться відстань від самой нижньої точки цієї лінії до спеціальної метки на ячейці з прибавленням відомого відстані від метки до дна ячейки.
6. Первинна обробка результатів распознавання:
  - a) пошук та видалення пузирьків неподвижно растущих на стінках ячейки (для цього виконується порівняння двох послідовних кадрів і якщо на них присутствують пузирьки з близькими координатами та розмірами, вони вважаються растущими неподвижно та підлягають виключенню з набору даних);
  - b) пошук та видалення пузирьків, що знаходяться вище рівня жидкості (див. п. 5.);
  - c) використання діаметрів та глибин (відстані між центром пузирька та мениском жидкості в оптическій ячейці) пузирьків з урахуванням масштабного коефіцієнта.
7. Сохранение в файле полученной информации о времени регистрации ( $\tau$ ) (соответствует времени съемки кадра), диаметре ( $d$ ) и глубине каждого пузирька ( $h$ ).

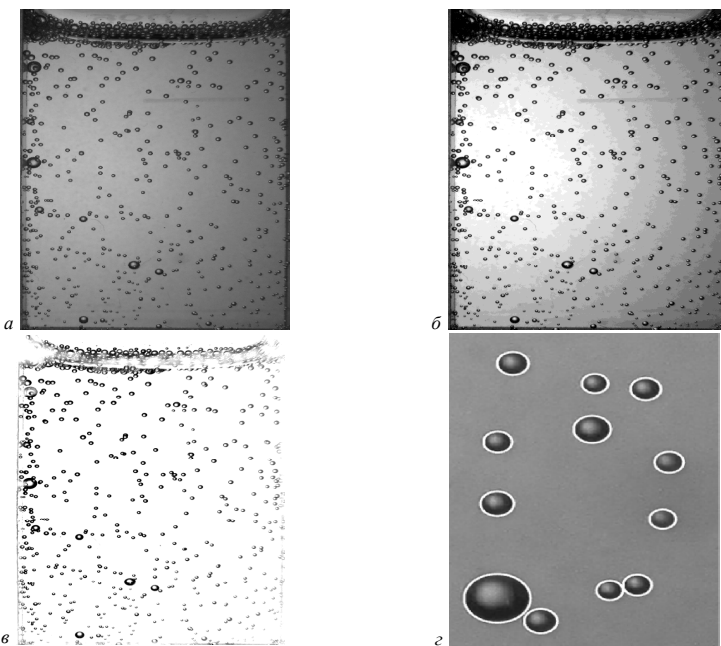


Рис. 3. Результати обробки зображення вспильюючих пузирьків в вині:

а – частина исходного зображення, в якому виконується распознавання пузирьків; б – частина исходного зображення, після підготовки; в – частина исходного зображення, після вищитання фона; г – результат распознавання пузирьків, показаний на исходном зображені

## Обробка отриманої інформації

Дальнейша обробка отриманої в результаті распознавання інформації про вспильюючі пузирьки в вині передбачає виділення обобщенных характеристик процесса «игры» вина, удобных для сравнительного анализа образцов. Для этого предлагается описывать процессы изменения концентрации пузирьков и изменения среднего диаметра, вспильывающих пузирьков двумя математическими моделями. Небольшое количество параметров предлагаемых моделей, которые характеризуют важные аспекты «игры» вина, позволяет решить задачу количественного описания игристых свойств вина.

Для характеристики динамики выделения пузырьков из вина авторами предлагается использовать параметры модели (3), которой описываются (аппроксимируются) данные по концентрации пузирьков, зарегистрированных в фотокадре в разные моменты времени

Таблиця 2 – Результаты описания динамики выделения пузирьков моделью (2). Параметры модели с доверительным интервалом (значимость 95%) и стандартное отклонение  $n_{RMSD} = \sqrt{\sum_{i=1}^m (n_i - \bar{n}(\tau_i))^2 / m}$ 

Образец	$V, \text{cm}^3$	$n_{start}, \text{cm}^{-3}$	$n_{end}, \text{cm}^{-3}$	$\tau_n, \text{с}$	$\tau_n/V, \text{с}/\text{cm}^3$	$n_{RMSD}, \text{cm}^{-3}$
№1	2.38	$151.3 \pm 2.9$	$2.2 \pm 2.5$	$394 \pm 22$	$165.3 \pm 9.4$	5.7
№2	2.33	$145.1 \pm 2.3$	$8.2 \pm 1.5$	$319 \pm 14$	$136.8 \pm 6.0$	4.3
№3	2.31	$120.2 \pm 1.8$	$6.1 \pm 1.5$	$391 \pm 18$	$169.3 \pm 7.8$	3.6
№4	2.24	$117.6 \pm 2.2$	$0.0 \pm 2.1$	$424 \pm 25$	$189.5 \pm 11.3$	4.5

Очевидно, что длительность процесса газовыделения из вина определяется содержанием углекислого газа в образце, которое пропорционально объему образца. Как видно из результатов описания моделью (3) (табл. 2) процессов газовыделения из различ-

ных образцов вина постоянная времени при различной технологической обработке может изменяться от нескольких процентов (образцы №1 и №3) до 34 % (образцы №2 и №4).

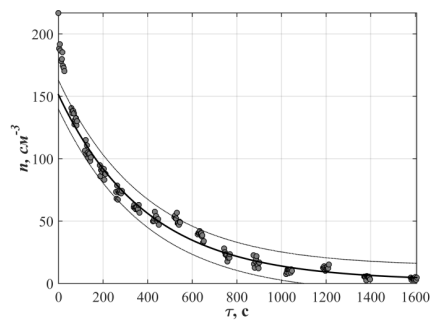


Рис. 4. Залежність концентрації пузирьків в измерительній ячейці від часу (○) і результат описання моделлю (3) (—) з доверительним інтервалом (значимість 95%) (····) – образец №1

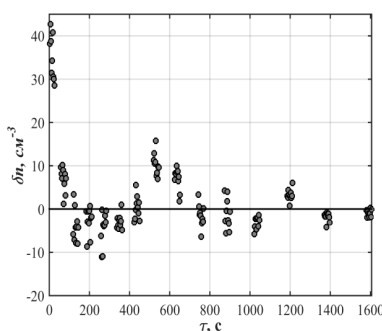


Рис. 5. Отклонения экспериментальных данных о концентрации пузирьков образца №1 в измерительной ячейке от рассчитанных значений по модели (3)

Помимо концентрации пузирьков в вине, важним аспектом «игры» игристого вина являются размеры всплывающих пузирьков. После нарушения равновесия системы вино- $\text{CO}_2$  (откупоривание бутылки и наливание в ячейку) в вине начинают образовываться, «растягиваться» и всплывать пузирьки углекислого газа. Центрами образования пузирьков служат микропороховатости на поверхности стекла и микрочастицы, содержащиеся в вине (пылинки, кристаллы). После образования пузирька он начинает «растягиваться» – увеличивать свой размер за счет газовыделения в пузирек углекислого газа из вина и расширения газа в результате уменьшения гидростатической составляющей давления. Следует заметить, что на этот процесс влияет изменение поверхностного натяжения, вызванное изменением состава поверхностного слоя на границе раздела фаз. Пузирьки, образовавшиеся на стенке ячейки, некоторое время растут не всплывая, удерживаемые силами поверхностного натяжения на

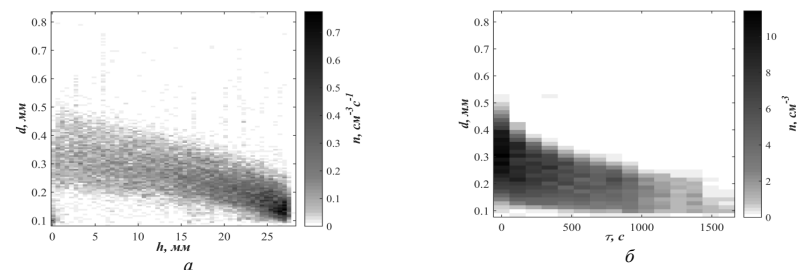


Рис. 6. Распределение концентрации пузирьков по размерам и глубине ячейки (а) и по размерам и времени регистрации (б) для образца №1

Для характеристики размеров пузирьков предлагаются использовать параметры модели (4), которая позволяет описывать набор следующих данных: время регистрации ( $\tau$ ), глубина пузирька ( $h$ ) и диаметр ( $d$ ) каждого пузирька:

$$d(x, \tau) = a(\tau) \left[ \frac{x + x_0}{x_{bias}} \right]^c, \quad (4)$$

где  $d(x, \tau)$  – средний диаметр пузирьков,  $\text{мм}$ ;  $\tau$  – время от начала съемки процесса газовыделения из вина,  $\text{с}$ ;  $a(\tau)$  – параметр модели, изменяющийся во времени,  $\text{мм}$ ;  $x = h_m - h$  – высота всплытия пузирька – расстояние от dna ячейки до центра пузирька,  $\text{мм}$ ;  $x_0$  – параметр модели, который имеет смысл расстояния ниже dna ячейки, на котором диметры всех пузирьков равны нулю,  $\text{мм}$ ;  $x_{bias} = const$  – масштабный множитель, принятый в проведенных исследованиях равным 70  $\text{мм}$  (имеющий смысл уровня заполнения бокала вином);  $c$  – показатель степени – один из параметров, характеризующий динамику изменения размера пузирька при его всплытии. Ис-

пользование предложенного масштабного множителя  $x_{bias}$  позволяет интерпретировать параметр  $a(\tau)$  как диаметр пузирьков всплывших на высоту  $x_{bias}$ . В том случае, если это уровень вина в бокале, то из пузирьков этого размера будет формироваться пена. С течением времени параметр  $a$  изменяется ввиду уменьшения концентрации  $\text{CO}_2$  в вине. Это изменение предложено описывать моделью (5), содержащей еще три параметра, которые характеризуют процесс изменения размера пузирька, приведенного к высоте  $x_{bias}$ , со временем:

$$a(\tau) = (a_{start} - a_{end}) \exp\left(-\frac{\tau}{\tau_a}\right) + a_{end}, \quad (5)$$

где  $a_{start}$  и  $a_{end}$  являются, соответственно, размером пузирьков на высоте  $x_{bias}$  в начале и в конце процесса «игры»,  $\text{мм}$ ;  $\tau_a$  – постоянная времени процесса изменения указанного размера пузирьков,  $\text{с}$ .

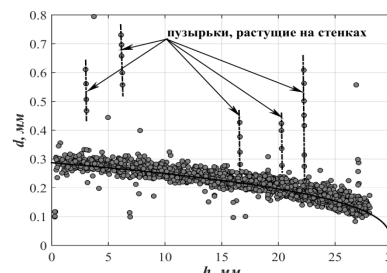


Рис. 7. Залежність розмірів пузирьків від висоти  $h$  для образу №1 в промежутку времени  $337 \text{ c} < \tau < 363 \text{ c}$  (○ – (τ, h, d)-данні)

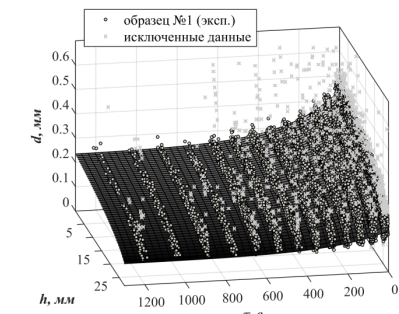


Рис. 8. Залежність діаметрів пузирьків  $\text{CO}_2$  від висоти  $h$  і времени  $\tau$  для образу вина №1.

Таблиця 3 – Результати описання ( $\tau, h, d$ -данніх пузирьків моделью (4, 5). Параметри моделі з довірительним інтервалом (значимість 95%) і стандартне відхилення  $d_{RMSD} = \sqrt{\sum_{i=1}^m (d_i - \bar{d}(\tau_i))^2 / m}$

Образец	$h_m, \text{мм}$	$x_0, \text{мм}$	$a_{start}, \text{мм}$	$a_{end}, \text{мм}$	$\tau_a, \text{с}$	$c$	$d_{RMSD}, \text{мм}$
№1	27.99	$1.9 \pm 0.2$	$0.591 \pm 0.004$	$0.314 \pm 0.007$	$258.3 \pm 5.7$	$2.89 \pm 0.05$	0.026
№2	27.37	$3.0 \pm 0.2$	$0.601 \pm 0.004$	$0.308 \pm 0.003$	$269.7 \pm 5.9$	$2.91 \pm 0.06$	0.027
№3	27.13	$2.7 \pm 0.2$	$0.574 \pm 0.004$	$0.305 \pm 0.004$	$363.8 \pm 9.7$	$2.98 \pm 0.06$	0.026
№4	26.36	$2.8 \pm 0.2$	$0.626 \pm 0.005$	$0.287 \pm 0.004$	$293.4 \pm 6.8$	$2.95 \pm 0.06$	0.028

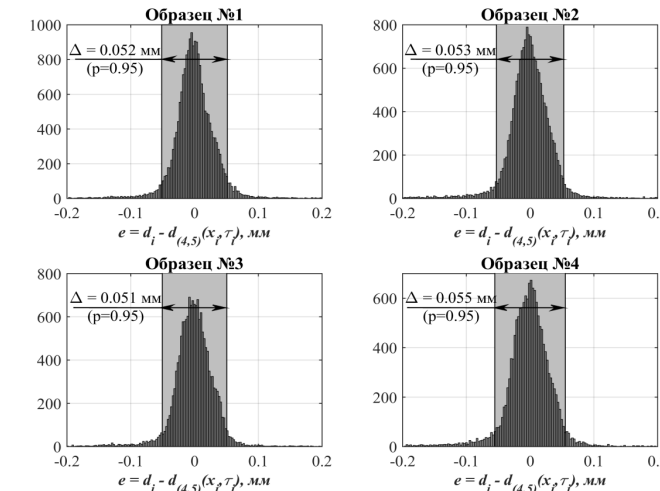


Рис. 9. Распределение отклонений ( $\tau, h, d$ -данніх від моделі (4, 5) для чотирьох образів ігристого вина

Для определения параметров предложенной модели по  $(\tau, h, d)$ -данным используется рабочая оценка параметров модели методом наименьших квадратов (robust least squares) с биквадратной весо-

вой функцией (6) (bisquare weights) [12]. Такой метод оценивания позволяет исключить влияние отдельных данных, являющихся выбросами (рис. 7). Эти выбросы появляются из-за того, что алгоритм «пропускает»

